

**NÚCLEO  
INOX**

NUCLEO  
INOX

Núcleo de Desenvolvimento Técnico e Gerencial do  
Aço Inoxidável - Núcleo Inox  
Av. Nove de Julho, 4015  
CEP: 01407-100 - São Paulo - SP - Brasil  
Tel.: (011) 887-2033  
Fax: (011) 885-8124



INOX'94

IV Seminário Brasileiro do Aço Inoxidável

**NÚCLEO  
INOX**

**INOX'94**

**IV Seminário Brasileiro  
do Aço Inoxidável**

**23 a 25 de novembro de 1994**

**São Paulo**

## DESENVOLVIMENTO DE NOVOS AÇOS INOXIDÁVEIS COM EFEITO DE MEMÓRIA DE FORMA

JORGE OTUBO/PAULO ROBERTO MEI - FEM/DEMA - UNICAMP - CP 6122 - CEP 13.081-970 -  
CAMPINAS, SP  
SADAMU KOSHIMIZU - IPEN/CNEN - CP 11049 - CEP 05422-970 - SÃO PAULO, SP.

### RESUMO

Entre as ligas com Efeito de Memória de Forma (EMF), a mais conhecida e de melhor desempenho é a liga NiTi com recuperação de forma em torno de 6 a 7%. No entanto é uma liga cara e de difícil elaboração. Como alternativa é apresentado neste trabalho, talvez pioneiro no Brasil, o desenvolvimento de duas ligas com EMF a base de aços inoxidáveis. Resultados preliminares obtidos indicam que em termos de elaboração e de conformação mecânica as ligas a base de aços inoxidáveis não apresentam maiores problemas e a recuperação de forma após uma pré-deformação de 4% por ensaio de dobramento se situa em torno de 80%.

### INTRODUÇÃO

O EMF é o termo usado para descrever a capacidade de certos materiais, após serem deformados plasticamente, de voltarem ao estado original com o aquecimento. A figura 1 apresenta esquematicamente estes fatos. No lado esquerdo tem-se uma mola feita de uma liga comum. Quando traçado além do limite elástico, ela apresenta uma deformação plástica permanente e seu formato inicial não é recuperado com posterior aquecimento. Se o mesmo procedimento for aplicado numa mola com EMF, ao ser posteriormente aquecida, a mesma volta ao estado original. Fisicamente, o EMF aparece em algumas ligas especiais que apresentam transformação martensítica cristalográficamente reversível.

LIGA NORMAL	ESTADO	LIGA COM MEMÓRIA
—■■■—	FORMA ORIGINAL	—■■■—
—~~~~—	ESTICADO	—~~~~—
—~~~~—	SOLTO	—~~~~—
—~~~~—	AQUECIDO	—■■■—

Figura 1. Representação esquemática da diferença de comportamento de uma liga normal comparada a uma liga com efeito de memória de forma com relação a deformação e posterior aquecimento.

As primeiras ligas com EMF, foram desenvolvidas na década de 50 em Au-Cd (1951) e In-Tl (1953) [1,2]. Na década de 60 foram desenvolvidas as ligas de NiTi pela NASA [3] e ligas a base de Cu [1]. Metalurgicamente, as ligas a base de Cu são as mais conhecidas devido à facilidade de obtenção de monocristais. No entanto, em termos de aplicação, a mais importante é a de NiTi. Esta liga apresenta recuperação de forma em torno de 6 a 8%.

Mais recentemente, foi verificado que ligas a base de Fe também exibiam o EMF sob certas condições [1,2]: FePt, FePd, FeNiCoTl, FeMnSi, etc. Destas as ligas de Fe-Pt e Fe-Pd tem sido estudadas somente por interesse acadêmico por serem o Pt e o Pd metais muito caros.

Uma das ligas mais estudadas é a liga a base de Fe-Mn-Si [4-13]. Esta liga apresenta transformação martensítica não termodinâmica passando da fase  $\alpha$ (FeCC) para fase  $\epsilon$ (HCP). Próximo de Ms (temperatura de inicio da formação da matriz martensítica), a tensão é tanta que pode ser induzida através de tensão mecânica. A reversão da martensita a induzida por tensão é chamada de recuperação e é responsável pela recuperação de forma. A literatura [1,4] indica que no sistema Fe-Mn-Si, uma combinação adequada da Mn e da Tn (temperatura de Néel) é fundamental para que se tenha um bom EMF. Em primeiro lugar, a Mn deve estar somente um pouco abaixo da temperatura de deformação. Se a Mn for alta, a martensita já existe e suprime a transformação martensítica induzida por tensão. Por outro lado, se a Mn estiver muito abaixo da temperatura de deformação, a transformação martensítica induzida por tensão é dificultada, necessitando-se de uma grande tensão mecânica para formar a martensita. O controle da Mn pode ser feito modificando-se o teor de Mn. O aumento no teor de Mn abaixa a Ms. No entanto, a Tn aumenta com a elevação do teor de Mn. Se a Tn é maior que a Ms, estabiliza-se a austenita ( $\gamma$ ). A adição de Si abaixa a Tn sem afetar a Ms. Logo a Ms e a Tn podem ser controladas pelas teores de Mn e Si. Além disso, o Si aumenta a resistência mecânica da fase matriz e reduz a energia de falha de emplumamento, melhorando portanto o EMF. Maruyama et al. [13], mostraram que os melhores resultados em termos de EMF são para concentrações de Mn entre 28 e 32% e Si entre 4 e 6%. As propriedades dessa liga é baixa curie, EMF razoável (em termo de 3%) e a Ms próxima a temperatura ambiente. No entanto é uma liga de difícil trabalhabilidade e resistência a corrosão muito baixa.

Para sanar o problema de baixa resistência a corrosão, porém mantendo ou melhorando a propriedade de EMF, pesquisas estão sendo realizadas principalmente pelos japoneses [14,15,16,17]. Adições de outros elementos estão sendo feitas mantendo-se como base a liga Fe-Mn-Si: Cr de 7 a 15%; Ni < 10%; Mn < 15%; Si < 7%; e Co de 4 a 15%. A Mn pode ser controlada alterando-se com a composição química da liga.

O efeito desse elemento pode assim ser descripto: O Cr é adicionado para proporcionar à liga resistência a corrosão, isto é, conferir o caráter inoxidável. No entanto, o Cr interfere também na Ms e na Tn. Onaka et al. [14] mostraram que para manter a Ms constante, o teor de Mn deve ser aumentado quando se aumentar a adição do Cr. Como a Tn diminui com o aumento do teor de Cr, não afeta com termos da EMF. Foi verificado também que teor de Cr acima de 7% implica no aparecimento da fase  $\epsilon$ , que fragiliza o material, reduzindo a sua tenacidade. Para tanto é adicionado Ni, que suprime a fase  $\epsilon$ . Além dos elementos acima, Moriya et al. [17] adicionaram Co, que segundo Miyazaki e Onaka [1] aumenta a temperatura Curie, resultando em pequena mudança de volume e baixo módulo de elasticidade após transformação martensítica, o que acentuará o EMF.

#### FABRICAÇÃO E CONFORMAÇÃO DAS LIGAS

Baseados nos dados acima, foram definidas duas ligas com as composições: 1) Fe-9Cr-5Ni-14Mn-5,5Si denominada de CrNi e 2) Fe-13Cr-6Ni-8Mn-5,5Si-12Co denominada de CrNiCo.

Os lingotes foram elaborados em um Forno de Indução a Vírus (VIM) em escala de laboratório, utilizando-se como matéria prima, Co, Cr e Ni óxidizados; Si e Mn metálicos e Ti e Fe puros. A análise química dos dois lingotes estão na Tabela 1, onde foi colocada também a composição da liga 9Cr de NKK [16,17] que será utilizada para comparação de propriedades mecânicas com as ligas produzidas neste trabalho.

Tabela 1. Composição química dos lingotes (% em peso)

Liga	C	Si	Mn	Ni	Cr	Co
CrNi	0,037	5,27	13,61	4,77	6,08	0,25
CrNiCo	0,044	5,16	7,81	5,74	13,02	11,85
9Cr	-	5,9	14,3	5,4	9,1	-

A dimensão final de cada lingote foi: 70x70mm na cabeça e 50x60mm no pé.

Posteriormente, os lingotes foram aquecidos a 1180°C/2h e forjados a quente para um perfil quadrado de 40x40mm e em seguida seccionados longitudinalmente em barras menores de 20x20mm.

Posteriormente foram aquecidos a 1100°C/1h e laminadas a quente para fio máquina. As dimensões finais foram 5,60x5,15mm para a liga CrNi e 6,75x6,75mm para a liga CrNiCo com um perfil quadrado de cantos arredondados.

Após a laminação, os dois fios máquinas foram solubilizados a 1050°C/40min, com refriamento em água.

Em seguida foram calibrados por treliçamento para diâmetros 5,05mm (CrNi) e 5,60mm (CrNiCo) e novamente solubilizados a 1050°C/40min.

Micrografias das seções transversais das ligas CrNi e CrNiCo na forma de fios máquinas solubilizado apresentaram macias de recimento e tamanho de grão 5 ASTM para a primária e de 2 a 3 ASTM para a secundária. Essa tendência continua nas bolas de 5,05mm (CrNi) e 5,60mm (CrNiCo). Isto é, tratadas nas mesmas condições, a liga CrNiCo sempre apresentou tamanho de grão maior. Após a calibração, as duas ligas apresentaram estrutura martensítica induzida pela deformação. As figuras 2 e 3 apresentam características típicas do grão máquina solubilizado e após calibração. A Tabela 2 dá as características dos materiais nos estados solubilizado e encruado. No estado solubilizado, nos dois estagiôs, a dureza da liga CrNi foi levemente superior ao da liga CrNiCo. No estado encruado, a dureza das duas ligas foram semelhantes. No entanto esses valores devem ser considerados com ressalvas pois a taxa de redução de área na calibração não pode ser medida com precisão devido ao perfil irregular dos fios máquinas de partida.

Tabela 2. Características de dureza e tamanho de grão após solubilização, calibração e nova solubilização.

LIGA	ESTADO	DUREZA(HV)	T.G. (ASTM)
CrNi	5,15x5,15 sol.	193	5
	5,60 encruado	374	-
	5,50 solubilizado	213	4 a 6
CrNiCo	6,75x6,75 sol.	273	2 a 3
	5,50 calibrado	378	-
	5,50 sol.	180	3

Após solubilização nos diâmetros 5,05 mm(CrNi) e 5,60mm (CrNiCo), ambas as ligas foram treliçadas para diâmetro de 1,20mm. Durante a treliçação, foram efetuados recobrimentos intermediários em fuso contínuo a 1050°C em atmosfera protetora de 60%N<sub>2</sub> + 40%Ar. A redução da área entre recobrimentos variou de 40 a 50%. Reduções maiores provocavam a ruptura do fio.

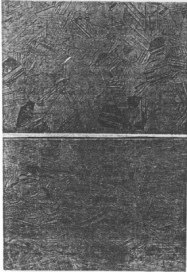


Figura 2. Micrografia ótica da liga CrNiCo na bala de 6,75x6,75mm após solubilização a 1050°C/40min.  
Aumento 100X, ataque águia régia.

Durante a trelição, foram retiradas amostras para ensaios de tração. Os resultados se referem sempre a amostras recocidas.

Na Tabela 3 estão apresentados resultados de ensaios de tração para as ligas CrNi e CrNiCo desse trabalho e para comparação a liga 9Cr da NKK[17] com composição similar a liga CrNi. Em termos de resistência à tração os valores apresentados pelas ligas CrNi e CrNiCo são praticamente semelhantes. Já a liga CrNi quando comparada a liga 9Cr se encontra 50MPa superior. Ainda para as duas ligas CrNi e 9Cr, a diferença foi bem maior quando se comparou os valores de coeficiente de escorregamento com 10MPa a mais para a primeira. Em termos de alongamento, as comparações ficaram divididas pois os componentes únicos eram diferentes. Em termos de redução de área, o melhor resultado foi obtido pela liga CrNi seguida da liga CrNiCo e por fim pela liga 9Cr. Isto é, as duas ligas elaboradas neste trabalho mostraram-se mais duras e ao mesmo tempo com maior resistência à tração que a liga produzida pela NKK.

Tabela 3. Resultados de ensaios de tração

LIGA	CrNi	CrNiCo	9Cr[17]
Rt(MPa)	865,8	852,0	816
Le(MPa)	221,1	319,2	187
Along (%)	52,8(100mm)	61,2(100mm)	72(30mm)
Red. Area(%)	72,0	69,4	61

Para a verificação da existência ou não do EMF, as duas ligas no diâmetro de 1,20mm foram laminadas a frio até uma espessura de 0,22mm, onde foi feito um recocimento final a 1050°C/15min.

Em seguida foram realizados ensaios de dobramento e os resultados preliminares indicam que para uma pré-deformação inicial de 4%, a recuperação total após aquecimento foi em torno de 80% para a liga CrNi e de 81% para a liga CrNiCo. Yang Chen e Wayman [18] trabalhando com material da NKK obtiveram recuperação de forma em torno de 87%, o que indica que estamos no caminho certo. Dados do ensaio de dobramento e caracterização de outras propriedades físicas serão apresentados no 11º CBECIMAT [19].

#### AGRADECIMENTOS

À Elastrometal e em especial ao Dr. José Diniz de Souza pelo incentivo e fornecimento de amostras; Ao Senhores Dr. Alain Jean Isrél, Eugênio José de Almeida, Wagner Luiz Faustino, João Luz, Nilson C. Oliveira e Ismael Polito pela ajuda na elaboração e nos ensaios de laboratório; Ao Dr. Marcelo Gonçalves do IPT pela ajuda na lamination das barras e, Ao CNPq pelo auxílio financeiro a um dos pesquisadores.

#### CONCLUSÕES

Em relação às ligas CrNi e CrNiCo produzidas neste trabalho pode-se concluir que:

1. Tanto em termos de elaboração como em termos de conformação mecânica a quente, as duas ligas não apresentaram maiores problemas.
2. Já em termos de trelição (conformação mecânica a frio), a redução de área máxima entre recocimentos foi da ordem de 50%. Maiores reduções provocavam a ruptura do fio.
3. No estado solubilizado, tanto a liga CrNi como a liga CrNiCo apresentaram macias de recocimento com crescimento de grão maior sempre para a segunda.
4. Com pequena redução por trelição, as duas ligas apresentaram martensita induzida por deformação. Deve-se observar que a reversão da martensita induzida por tensão mecânica é que provoca o aparecimento do EMF.
5. Finalmente, em termos de EMF, os resultados preliminares foram bastante promissores com recuperação de forma em torno de 80% para uma pré-deformação de 4% em ambas as ligas
6. Este trabalho visou principalmente verificar a viabilidade de elaboração das ligas e seu comportamento durante a conformação mecânica, chegando-se a fios de diâmetro 1,20mm sem maiores problemas. Mais detalhes de características físicas das ligas serão apresentadas no 11º CBECIMAT/Dez. 94 em Águas de São Pedro, SP.

#### REFERÊNCIAS

1. S. MIYAZAKI and K. OTSUKA, ISU International, vol. 29, No. 5, pp. 353-377, (1989).
2. T. MAKI, Proc. 1st Japan International SAMPE Symposium, Nov. 28-Dec. 1, 1989.
3. C. M. JACKSON, H. J. WAGNER and R. J. WASILEWSKI, NASA REPORT, SP 5110, 1972.
4. A. SATO, E. CHISHIMA, K. SOMA and T. MORI, Acta Metall. Vol. 30, pp. 1177-1183, 1982.
5. A. SATO, E. CHISHIMA, Y. YAMAJI and T. MORI, Acta Metall. vol. 32, No. 4, pp. 539-547, 1984.
6. A. SATO, Y. YAMAJI and T. MORI, Acta Metall. Vol. 34, No. 2, pp. 287-294, 1986.

7. Y. HOSHINO, S. NAKAMURA, N. ISHIKAWA and A. SATO, Materials Science Forum, Vol. 56-58, pp. 643-648, 1990.
8. J. S. ROBINSON and P. G. MACCORMICK, Materials Transactions, JIM, Vol. 33, No. 3, pp. 253-262, 1192.
9. J. S. ROBINSON and P. G. MACCORMICK, Scripta Metallurgica, vol. 23, pp. 1975-1978, 1989.
10. J. S. ROBINSON and P. G. MACCORMICK, Materials Science Forum, vols. 56-58, pp. 649-654, 1990.
11. K. TSUZAKI, Y. NATSUME, Y. KUROKAWA and T. MAKI, Scripta Metallurgica et Materialia, vol. 27, pp. 471-473, 1992.
12. Y. WATANABE, Y. MORI and A. SATO, J. Materials Science, vol. 28, pp. 1509-1514, 1993.
13. N. MURAKAMI, H. OTSUKA, H. G. SUZUKI and S. MATSUDA, Proc. Int. Conf. on Martens. Trans. (ICOMAT-86), Japan Inst. Met., Sendai, p. 985, 1987.
14. H. OTSUKA, H. YAMADA, T. MARUYAMA, H. TANAHASHI, S. MATSUDA and H. MURAKAMI, Materials International, Vol. 30, No. 8, pp. 674-679, 1990.
15. H. OTSUKA, H. YAMADA, H. TANAHASHI and T. MARUYAMA, Materials Science Forum, Vol. 56-58, pp. 655-660, 1990.
16. STAINLESS STEEL BASED SHAPE MEMORY ALLOY, NKK Technical Bulletin, Cat. No. 400-055.
17. Y. MORIYA, H. KIMURA, S. ISHIZAKI, S. HASHIZUME, S. SUZUKI and T. SAMPEI, Journal de Physique IV, Colloque C4, supplément au Journal de Physique III, Vol. 1, pp. 433-437, nov. 1991.
18. J. H. YANG, H. CHEN and C. M. WAYMANN, Metallurgical Transactions A, vol. 23A, pp. 1431-1437, may 1992.
19. J. OTUBO, P. R. MEI, 11º CBECIMAT, Águas de São Pedro, SP, 11 a 14 de Dez. de 1994.

## AVALIAÇÃO DA QUALIDADE EM IMPLANTES ORTOPÉDICOS DE AÇO INOXIDÁVEL

JOÃO CARLOS MIGUEZ SUAREZ  
INSTITUTO DE PROJETOS ESPECIAIS - IPE/CTEX  
Av. das Américas, 28705 - Guaratiba  
CEP 23200-470, Rio de Janeiro, RJ.

Engenheiro Industrial e de Metalurgia (IME, 1965) com pós-graduação na área de materiais (IME, 1977). Pesquisador titular do Centro Tecnológico do Exército (CTEx) e Chefe do Laboratório de Materiais do Instituto de Projetos Especiais, onde executa atividades relacionadas com o desenvolvimento e a garantia da qualidade de processos e produtos.

### RESUMO

De uma maneira ideal, o implante ortopédico deve ser completamente inerte em relação ao corpo humano. Assim, uma das mais importantes considerações para que um certo material possa ser usado em implantes cirúrgicos é a sua compatibilidade com o corpo humano. Todavia as reações que ocorrem entre o implante e o tecido humano podem ser afetadas por muitos fatores, entre os quais se incluem a forma e o tamanho do implante, o movimento entre o implante e o tecido, a extensão do ataque por corrosão, a degradação geral do implante e a atividade biológica dos produtos que resultam da corrosão ou da degradação.

Vários tipos de materiais, metálicos e não-metálicos, são utilizados em implantes cirúrgicos. Dentro dos materiais metálicos empregados destacam-se aço inoxidável, titânio e suas ligas, tântalo, ligas de Co-Cr com ou sem adição de outros elementos. Dentre os não-metálicos temos materiais plásticos (resinas acrílicas, epoxi, poliuretano, polietileno etc.) e materiais cerâmicos (álamas).

Neste trabalho são apresentados os resultados de ensaios metalográficos e mecânicos utilizados na avaliação da qualidade de alguns tipos de implantes ortopédicos de aço inoxidável disponíveis no mercado nacional.

### INTRODUÇÃO

A seleção de um material para ser empregado na fabricação de implantes exige a otimização de algumas propriedades, das quais as mais importantes são a resistência à corrosão e a resistência mecânica, que, de uma maneira geral, são encontradas nos aços inoxidáveis.

As sociedades internacionais padronizaram os materiais recomendados para implantes cirúrgicos. A American Society for Testing and Materials - ASTM apresenta para os aços inoxidáveis, várias normas, dentre as quais destacamos:

- F53-82 - Stainless Steel Bar and Wire for Surgical Implants.
- F56-82 - Stainless Steel Sheet and Strip for Surgical Implants.
- F118-79 - Stainless Steel Bar and Wire for Surgical Implants (Special Quality)
- F139-82 - Stainless Steel Sheet and Strip for Surgical Implants (Special Quality)
- F621-79 - Stainless Steel Forgings for Surgical Implants.
- F745-81 - Stainless Steel for Cast and Solution - Annealed Surgical Implant Applications.

Entre estas, a especificação mais comum é a ASTM F138-82, que padroniza aços similares aos AISI 316 e 316L.

A otimização do comportamento do aço inoxidável tipo 316 ou 316L, exige um controle metalúrgico de fabricação muito apertado, pois alcança as suas melhores propriedades quando a sua